

Notes to the perfect Euler brick problem

Wang Xiang

April 10, 2022

Contents

1	Basic Discussion	1
2	Topological inspection of $X(\mathbb{R})$ and $X_\epsilon(\mathbb{R})$	1
3	Topological inspection of $X(\mathbb{C})$ and $X_\epsilon(\mathbb{C})$	3
4	Rational points on X and X_ϵ	4

1 Basic Discussion

Problem 1. The *perfect Euler brick problem* is an open Diophantine problem that asks if there exists a rational point $P(x, y, z) \neq (0, 0, 0)$ in the 3-dimensional Euclidean space such that the distance $\sqrt{x^2 + y^2}$, $\sqrt{y^2 + z^2}$, $\sqrt{z^2 + x^2}$, $\sqrt{x^2 + y^2 + z^2}$ are all rational numbers.

Definition 1. 1) Let $X \subset \mathbb{P}^6 = \text{Proj}\mathbb{Z}[x, y, z, r_1, r_2, r_3, r_4]$ be the projective variety defined by the homogeneous ideal $I(X) = \langle x^2 + y^2 - r_1^2, y^2 + z^2 - r_2^2, z^2 + x^2 - r_3^2, x^2 + y^2 + z^2 - r_4^2 \rangle$. Define $f : X(\mathbb{R}) \rightarrow \mathbb{RP}^2, p(x : y : z : r_1 : r_2 : r_3 : r_4) \mapsto (x : y : z)$, and denote $q_1(0 : 0 : 1), q_2(1 : 0 : 0), q_3(0 : 1 : 0)$.

2) Let $X_\epsilon \subset \mathbb{P}^6 = \text{Proj}\mathbb{Z}[x, y, r_1, r_2, r_3, r_4, z]$ be the projective variety defined by the homogeneous ideal $I(X) = \langle x^2 + y^2 + \epsilon r_4^2 - r_1^2, y^2 + z^2 + \epsilon r_4^2 - r_2^2, z^2 + x^2 + \epsilon r_4^2 - r_3^2, x^2 + y^2 + z^2 - r_4^2 \rangle$. Define $f_\epsilon : X_\epsilon(\mathbb{R}) \rightarrow \mathbb{RP}^2, p(x : y : z : r_1 : r_2 : r_3 : r_4) \mapsto (x : y : z)$,

2 Topological inspection of $X(\mathbb{R})$ and $X_\epsilon(\mathbb{R})$

$$p_1(0 : 0 : \pm 1 : 0 : \pm 1 : \pm 1 : 1), \quad p_2(\pm 1 : 0 : 0 : \pm 1 : 0 : \pm 1 : 1), \quad p_3(0 : \pm 1 : 0 : \pm 1 : \pm 1 : 0 : 1),$$

For $\epsilon > 0$, $X_\epsilon(\mathbb{R})$ is the disjoint union of 8 spheres. We give its connected components decomposition as $X_\epsilon(\mathbb{R}) = \bigsqcup_{0 \leq i \leq 7} X_{\epsilon, i}$. Define a map $g_1 : X_\epsilon(\mathbb{R}) \rightarrow \mathbb{R}^3$, for any $p(x : y : r_1 : r_2 : r_3 : r_4 : z) \in X_\epsilon(\mathbb{R})$, $g(p) = (\frac{x}{r_4}, \frac{y}{r_4}, \frac{z}{r_4})$. For any $t \in \mathbb{R}_\times$, $g(tp) = (\frac{tx}{tr_4}, \frac{ty}{tr_4}, \frac{tz}{tr_4}) = g(p)$, so g is well defined. The image of g is $g(X_\epsilon(\mathbb{R})) = \mathbb{S}^2 = \{x^2 + y^2 + z^2 = 1\} \subset \mathbb{R}^3$. For a given point $s_1(x, y, z) \in \mathbb{S}^2$, its fiber is given by $g^{-1}(s_1) = \{(x : y : z : \pm \sqrt{x^2 + y^2 + \epsilon} : \pm \sqrt{y^2 + z^2 + \epsilon} : \pm \sqrt{z^2 + x^2 + \epsilon} : 1)\}$. We conclude that $g : X_\epsilon(\mathbb{R}) \rightarrow \mathbb{S}^2 \subset \mathbb{R}^3 \setminus \{0\}$ is an 8-fold covering, and its locally a smooth diffeomorphism everywhere on $X_\epsilon(\mathbb{R})$. The exact correspondence between $X_{\epsilon, i}, 0 \leq i \leq 7$ and the signs of $(\frac{r_1}{r_4}, \frac{r_2}{r_4}, \frac{r_3}{r_4})$ are given in the following table:

i	$\text{sgn}(\frac{r_1}{r_4})$	$\text{sgn}(\frac{r_2}{r_4})$	$\text{sgn}(\frac{r_3}{r_4})$
0	+	+	+
1	-	+	+
2	+	-	+
3	-	-	+
4	+	+	-
5	-	+	-
6	+	-	-
7	-	-	-

Table 1: Correspondence between $X_{\epsilon,i}$ and the signs of $(\frac{r_2}{r_1}, \frac{r_3}{r_1}, \frac{r_4}{r_1})$

$$\begin{aligned}
& p_{1,0,0}(0 : 0 : 1 : \sqrt{\epsilon} : \sqrt{1+\epsilon} : \sqrt{1+\epsilon} : 1), & p_{1,0,1}(0 : 0 : -1 : \sqrt{\epsilon} : \sqrt{1+\epsilon} : \sqrt{1+\epsilon} : 1), \\
& p_{1,1,0}(0 : 0 : 1 : -\sqrt{\epsilon} : \sqrt{1+\epsilon} : \sqrt{1+\epsilon} : 1), & p_{1,1,1}(0 : 0 : -1 : -\sqrt{\epsilon} : \sqrt{1+\epsilon} : \sqrt{1+\epsilon} : 1), \\
& p_{1,2,0}(0 : 0 : 1 : \sqrt{\epsilon} : -\sqrt{1+\epsilon} : \sqrt{1+\epsilon} : 1), & p_{1,2,1}(0 : 0 : -1 : \sqrt{\epsilon} : -\sqrt{1+\epsilon} : \sqrt{1+\epsilon} : 1), \\
& p_{1,3,0}(0 : 0 : 1 : -\sqrt{\epsilon} : -\sqrt{1+\epsilon} : \sqrt{1+\epsilon} : 1), & p_{1,3,1}(0 : 0 : -1 : -\sqrt{\epsilon} : -\sqrt{1+\epsilon} : \sqrt{1+\epsilon} : 1), \\
& p_{1,4,0}(0 : 0 : 1 : \sqrt{\epsilon} : \sqrt{1+\epsilon} : -\sqrt{1+\epsilon} : 1), & p_{1,4,1}(0 : 0 : -1 : \sqrt{\epsilon} : \sqrt{1+\epsilon} : -\sqrt{1+\epsilon} : 1), \\
& p_{1,5,0}(0 : 0 : 1 : -\sqrt{\epsilon} : \sqrt{1+\epsilon} : -\sqrt{1+\epsilon} : 1), & p_{1,5,1}(0 : 0 : -1 : -\sqrt{\epsilon} : \sqrt{1+\epsilon} : -\sqrt{1+\epsilon} : 1), \\
& p_{1,6,0}(0 : 0 : 1 : \sqrt{\epsilon} : -\sqrt{1+\epsilon} : -\sqrt{1+\epsilon} : 1), & p_{1,6,1}(0 : 0 : -1 : \sqrt{\epsilon} : -\sqrt{1+\epsilon} : -\sqrt{1+\epsilon} : 1), \\
& p_{1,7,0}(0 : 0 : 1 : -\sqrt{\epsilon} : -\sqrt{1+\epsilon} : -\sqrt{1+\epsilon} : 1), & p_{1,7,1}(0 : 0 : -1 : -\sqrt{\epsilon} : -\sqrt{1+\epsilon} : -\sqrt{1+\epsilon} : 1).
\end{aligned}$$

$$\begin{aligned}
& p_{1,0}(0 : 0 : 1 : 0 : 1 : 1 : 1), & p_{1,1}(0 : 0 : -1 : 0 : 1 : 1 : 1), \\
& p_{1,2}(0 : 0 : 1 : 0 : -1 : 1 : 1), & p_{1,3}(0 : 0 : -1 : 0 : -1 : 1 : 1), \\
& p_{1,4}(0 : 0 : 1 : 0 : 1 : -1 : 1), & p_{1,5}(0 : 0 : -1 : 0 : 1 : -1 : 1), \\
& p_{1,6}(0 : 0 : 1 : 0 : -1 : -1 : 1), & p_{1,7}(0 : 0 : -1 : 0 : -1 : -1 : 1).
\end{aligned}$$

$$\begin{aligned}
& p_{2,0,0}(1 : 0 : 0 : \sqrt{1+\epsilon} : \sqrt{\epsilon} : \sqrt{1+\epsilon} : 1), & p_{2,0,1}(-1 : 0 : 0 : \sqrt{1+\epsilon} : \sqrt{\epsilon} : \sqrt{1+\epsilon} : 1), \\
& p_{2,1,0}(1 : 0 : 0 : -\sqrt{1+\epsilon} : \sqrt{\epsilon} : \sqrt{1+\epsilon} : 1), & p_{2,1,1}(-1 : 0 : 0 : -\sqrt{1+\epsilon} : \sqrt{\epsilon} : \sqrt{1+\epsilon} : 1), \\
& p_{2,2,0}(1 : 0 : 0 : \sqrt{1+\epsilon} : -\sqrt{\epsilon} : \sqrt{1+\epsilon} : 1), & p_{2,2,1}(-1 : 0 : 0 : \sqrt{1+\epsilon} : -\sqrt{\epsilon} : \sqrt{1+\epsilon} : 1), \\
& p_{2,3,0}(1 : 0 : 0 : -\sqrt{1+\epsilon} : -\sqrt{\epsilon} : \sqrt{1+\epsilon} : 1), & p_{2,3,1}(-1 : 0 : 0 : -\sqrt{1+\epsilon} : -\sqrt{\epsilon} : \sqrt{1+\epsilon} : 1), \\
& p_{2,4,0}(1 : 0 : 0 : \sqrt{1+\epsilon} : \sqrt{\epsilon} : -\sqrt{1+\epsilon} : 1), & p_{2,4,1}(-1 : 0 : 0 : \sqrt{1+\epsilon} : \sqrt{\epsilon} : -\sqrt{1+\epsilon} : 1), \\
& p_{2,5,0}(1 : 0 : 0 : -\sqrt{1+\epsilon} : \sqrt{\epsilon} : -\sqrt{1+\epsilon} : 1), & p_{2,5,1}(-1 : 0 : 0 : -\sqrt{1+\epsilon} : \sqrt{\epsilon} : -\sqrt{1+\epsilon} : 1), \\
& p_{2,6,0}(1 : 0 : 0 : \sqrt{1+\epsilon} : -\sqrt{\epsilon} : -\sqrt{1+\epsilon} : 1), & p_{2,6,1}(-1 : 0 : 0 : \sqrt{1+\epsilon} : -\sqrt{\epsilon} : -\sqrt{1+\epsilon} : 1), \\
& p_{2,7,0}(1 : 0 : 0 : -\sqrt{1+\epsilon} : -\sqrt{\epsilon} : -\sqrt{1+\epsilon} : 1), & p_{2,7,1}(-1 : 0 : 0 : -\sqrt{1+\epsilon} : -\sqrt{\epsilon} : -\sqrt{1+\epsilon} : 1).
\end{aligned}$$

$$\begin{aligned}
& p_{2,0}(1 : 0 : 0 : 1 : 0 : 1 : 1), & p_{2,1}(-1 : 0 : 0 : 1 : 0 : 1 : 1), \\
& p_{2,2}(1 : 0 : 0 : -1 : 0 : 1 : 1), & p_{2,3}(-1 : 0 : 0 : -1 : 0 : 1 : 1), \\
& p_{2,4}(1 : 0 : 0 : 1 : 0 : -1 : 1), & p_{2,5}(-1 : 0 : 0 : 1 : 0 : -1 : 1), \\
& p_{2,6}(1 : 0 : 0 : -1 : 0 : -1 : 1), & p_{2,7}(-1 : 0 : 0 : -1 : 0 : -1 : 1).
\end{aligned}$$

$$\begin{aligned}
& p_{3,0,0}(0 : 1 : 0 : \sqrt{1+\epsilon} : \sqrt{1+\epsilon} : \sqrt{\epsilon} : 1), & p_{3,0,1}(0 : -1 : 0 : \sqrt{1+\epsilon} : \sqrt{1+\epsilon} : \sqrt{\epsilon} : 1), \\
& p_{3,1,0}(0 : 1 : 0 : -\sqrt{1+\epsilon} : \sqrt{1+\epsilon} : \sqrt{\epsilon} : 1), & p_{3,1,1}(0 : -1 : 0 : -\sqrt{1+\epsilon} : \sqrt{1+\epsilon} : \sqrt{\epsilon} : 1), \\
& p_{3,2,0}(0 : 1 : 0 : \sqrt{1+\epsilon} : -\sqrt{1+\epsilon} : \sqrt{\epsilon} : 1), & p_{3,2,1}(0 : -1 : 0 : \sqrt{1+\epsilon} : -\sqrt{1+\epsilon} : \sqrt{\epsilon} : 1), \\
& p_{3,3,0}(0 : 1 : 0 : -\sqrt{1+\epsilon} : -\sqrt{1+\epsilon} : \sqrt{\epsilon} : 1), & p_{3,3,1}(0 : -1 : 0 : -\sqrt{1+\epsilon} : -\sqrt{1+\epsilon} : \sqrt{\epsilon} : 1), \\
& p_{3,4,0}(0 : 1 : 0 : \sqrt{1+\epsilon} : \sqrt{1+\epsilon} : -\sqrt{\epsilon} : 1), & p_{3,4,1}(0 : -1 : 0 : \sqrt{1+\epsilon} : \sqrt{1+\epsilon} : -\sqrt{\epsilon} : 1), \\
& p_{3,5,0}(0 : 1 : 0 : -\sqrt{1+\epsilon} : \sqrt{1+\epsilon} : -\sqrt{\epsilon} : 1), & p_{3,5,1}(0 : -1 : 0 : -\sqrt{1+\epsilon} : \sqrt{1+\epsilon} : -\sqrt{\epsilon} : 1), \\
& p_{3,6,0}(0 : 1 : 0 : \sqrt{1+\epsilon} : -\sqrt{1+\epsilon} : -\sqrt{\epsilon} : 1), & p_{3,6,1}(0 : -1 : 0 : \sqrt{1+\epsilon} : -\sqrt{1+\epsilon} : -\sqrt{\epsilon} : 1), \\
& p_{3,7,0}(0 : 1 : 0 : -\sqrt{1+\epsilon} : -\sqrt{1+\epsilon} : -\sqrt{\epsilon} : 1), & p_{3,7,1}(0 : -1 : 0 : -\sqrt{1+\epsilon} : -\sqrt{1+\epsilon} : -\sqrt{\epsilon} : 1), \\
& p_{3,0}(0 : 1 : 0 : 1 : 1 : 0 : 1), & p_{3,1}(0 : -1 : 0 : 1 : 1 : 0 : 1), \\
& p_{3,2}(0 : 1 : 0 : -1 : 1 : 0 : 1), & p_{3,3}(0 : -1 : 0 : -1 : 1 : 0 : 1), \\
& p_{3,4}(0 : 1 : 0 : 1 : -1 : 0 : 1), & p_{3,5}(0 : -1 : 0 : 1 : -1 : 0 : 1), \\
& p_{3,6}(0 : 1 : 0 : -1 : -1 : 0 : 1), & p_{3,7}(0 : -1 : 0 : -1 : -1 : 0 : 1).
\end{aligned}$$

Proposition 1. 1) When $\epsilon > 0$, the homology groups of $X_\epsilon(\mathbb{R})$ are:

$$H_2(X_\epsilon(\mathbb{R}), \mathbb{Z}) = \mathbb{Z}^8, \quad H_1(X_\epsilon(\mathbb{R}), \mathbb{Z}) = 0, \quad H_0(X_\epsilon(\mathbb{R}), \mathbb{Z}) = \mathbb{Z}^8.$$

2) When $\epsilon = 0$, the homology groups of $X_0(\mathbb{R}) = X(\mathbb{R})$ are:

$$H_2(X(\mathbb{R}), \mathbb{Z}) = \mathbb{Z}^8, \quad H_1(X(\mathbb{R}), \mathbb{Z}) = \mathbb{Z}^{17}, \quad H_0(X(\mathbb{R}), \mathbb{Z}) = \mathbb{Z}.$$

3) When $\epsilon < 0$, the homology groups of $X_\epsilon(\mathbb{R})$ are:

$$H_2(X_\epsilon(\mathbb{R}), \mathbb{Z}) = \mathbb{Z}, \quad H_1(X_\epsilon(\mathbb{R}), \mathbb{Z}) = \mathbb{Z}^{34}, \quad H_0(X_\epsilon(\mathbb{R}), \mathbb{Z}) = \mathbb{Z}.$$

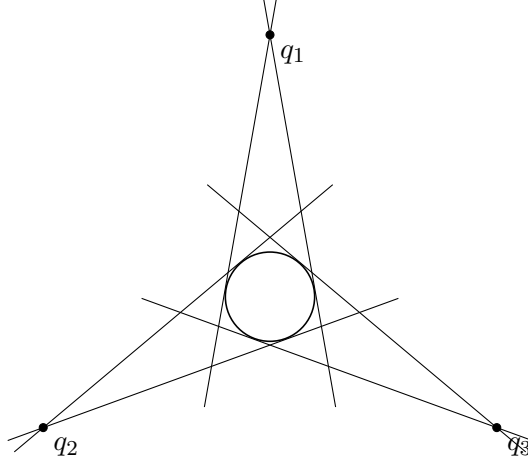
3 Topological inspection of $X(\mathbb{C})$ and $X_\epsilon(\mathbb{C})$

Denote four conic curves and their irreducible components in $\mathbb{C}\mathbb{P}^2$ by

$$\begin{aligned}
s_1 : x^2 + y^2 = 0, & \quad l_{1,0} : x + iy = 0, & \quad l_{1,1} : x - iy = 0, \\
s_2 : y^2 + z^2 = 0, & \quad l_{2,0} : y + iz = 0, & \quad l_{2,1} : y - iz = 0, \\
s_3 : z^2 + x^2 = 0, & \quad l_{3,0} : z + ix = 0, & \quad l_{3,1} : z - ix = 0, \\
s_4 : x^2 + y^2 + z^2 = 0.
\end{aligned}$$

The 6 projective complex lines above has 15 joints in total, all of them meets 2 lines, among which 3 of them belong to single conic curve listed above. The last circle is tangent to each of the 6 lines above. The coordinates of these points are given as follows:

$$\begin{aligned}
& q_{db,1,2}(1 : i : 1), \quad q_{db,1,3}(1 : -i : 1), \quad q_{db,1,4}(1 : i : -1), \quad q_{db,1,4}(1 : -i : -1), \\
& q_{db,2,1}(1 : 1 : i), \quad q_{db,2,3}(1 : 1 : -i), \quad q_{db,2,4}(1 : -1 : i), \quad q_{db,1,4}(1 : -1 : -i), \\
& q_{db,3,1}(i : 1 : 1), \quad q_{db,3,2}(-i : 1 : 1), \quad q_{db,3,4}(i : 1 : -1), \quad q_{db,1,4}(-i : 1 : -1), \\
& q_1(0 : 0 : 1), \quad q_2(1 : 0 : 0), \quad q_3(0 : 1 : 0).
\end{aligned}$$



Let $s = \bigcup_{1 \leq i \leq 3} s_i$ be the union of the three conics above. Then a disjoint union of s can be written as

$$s = \bigsqcup_{1 \leq i \leq 3, 0 \leq j \leq 1} l_{i,j} \bigsqcup_{1 \leq i \leq 3} q_i \bigsqcup_{1 \leq i \neq j \leq 4} q_{db,i,j} \bigsqcup_{1 \leq i \leq 6} q_{tan,i}.$$

f is 16-fold on $\mathbb{CP}^2 \setminus s$, 8-fold on s besides the 18 joints between different conics, 4-fold on 18 joints which each meets 2 lines or circle. So formally we have the following partition of $X(\mathbb{C})$ ignoring boundary maps, and its euler characteristic is known:

$$\begin{aligned} X(\mathbb{C}) &= \bigsqcup 16 \times (\mathbb{CP}^2 \setminus s) \bigsqcup 8 \times (s \setminus \{q_{db,*}, q_{tan,*}\}) \bigsqcup 4 \times \{q_{db,*}, q_{tan,*}\} \\ \chi(s) &= 6 * 2 + 2 - 15 - 6 = -7, \quad \chi(\mathbb{CP}^2 \setminus s) = 10, \\ \chi(s \setminus \{q_{db,*}, q_{tan,*}\}) &= \chi(s) - \chi(q_{db,*}, q_{tan,*}) = -25, \quad \chi(q_{db,*}, q_{tan,*}) = 18, \\ \chi(X(\mathbb{C})) &= 16 * 10 + 8 * (-25) + 4 * 18 = 32. \end{aligned}$$

The 3 relations about Chern numbers and Euler characteristic of $X(\mathbb{C})$ are as follows:

$$\begin{aligned} c_1^2 + c_2 &= 12 * \chi(X(\mathbb{C})) = 384, \quad 384 - c_2 = c_1^2 \leq 3c_2, \quad c_2 \geq 96, \quad c_1^2 \leq 288 \\ 5c_1^2 - c_2 + 36 &= 6c_1^2 - 348 \geq 0, \quad c_1^2 \geq 58, \quad 8 \leq c_1 \leq 16. \end{aligned}$$

Since the Kodaira dimension $\kappa(X_c(\mathbb{C})) = 2$ when $c_1^2, c_2 > 0$, we conclude that $X_c(\mathbb{C})$ is a surface of general type.

4 Rational points on X and X_c

Observe that when $x = 0$ (or $y = 0$, or $z = 0$), the equation degenerate to the classical Pythagorean equation. $X(\mathbb{Q}) \cap \{x = 0\}$ is isomorphic to the rational points on a unit circle, so are $X(\mathbb{Q}) \cap \{y = 0\}$ and $X(\mathbb{Q}) \cap \{z = 0\}$.

Appendix

References

- [1] Bjorn Poonen, Rational points on varieties.

- [2] James Milne, Class Field Theory.
- [3] Alexei Skorobogatov. Torsors and Rational Points.